



# サブバンド信号処理\*

—実時間動作化の奥の手—

牧野昭二 (NTT コミュニケーション科学基礎研究所)\*\*

43.60.-c

## 1. はじめに

### あつ、間に合わない。実時間動作

音響システムを実際に作って、実時間で動作させようとするとき、シミュレーションどおりには行かないことがある。サンプリング間隔の中に処理が納まり切れず、実時間動作が間に合わないのである。プロセッサのクロックを速くするという単純明快な方法のほかに、パイプライン処理・並列処理を導入する、サブバンド信号処理を使う、等といった演算を効率化する手法によって、実時間動作が可能になる。

サブバンド信号処理は帯域分割処理とも言われ、サンプリング周波数の変換を伴うため、マルチレート信号処理の代表例とも言える。サブバンド信号処理は、上述したように間に合わなかった実時間動作を可能にしたい場合や、ハードウェアを小型化したい場合、安価で遅いCPUを使って装置を経済化したい場合などにも用いられる。

サブバンド信号処理は、信号を幾つかの周波数帯域に分割し、それぞれの周波数帯域で独立に処理を行うため、各周波数帯域における信号やシステムの性質の違いを反映させ、帯域ごとに処理を変えることができる。また、各帯域の信号はフルバンドの信号に比べて周波数特性が平坦になる。つまり、信号が白色化される。これは収束速度が速くなる等、適応フィルタなどにとって大変にありがたいことである。

サブバンド信号処理は音声や音楽の符号化、エコーチャンセラを始め多くのアプリケーションに使われているが、ここでは、エコーチャンセラで使われているサブバンド処理を例にとってできる

だけ具体的にやさしく解説する。

## 2. 最も簡単、帯域2分割

サブバンド信号処理で最も簡単なものは、帯域2分割である。間引きと補間が本質的に信号の変調操作であることを積極的に利用することによって、信号を二つの帯域に分割し、サンプリング周波数を  $1/2$  にする。それでは、さっそく具体的な例を見ていこう。

### 二つのサブバンド信号に分割

帯域2分割・合成過程の全体の流れを図-1に、スペクトルを図-2に示す。フルバンド信号の帯域を  $[0-8]$  kHz, サンプリング周波数を  $16$  kHz として、 $[0-4]$  kHz と  $[4-8]$  kHz の二つの帯域に分割してみよう。まず、 $4$  kHz の理想ローパスフィルタで、 $[0-4]$  kHz 帯域の信号を切り出す [図-1(a) 上, 図-2(a) 左]。 $[0-4]$  kHz 帯域の信号は、 $8$  kHz サンプリングで表すことができる。そこで間引率2で間引きを行う。具体的には、データを2サンプルごとにサブサンプリングする。これで、 $[0-4]$  kHz 帯域の信号は  $8$  kHz サンプリングで表された [図-1(b) 上, 図-2(b) 左,  $f_s=8$  kHz になっていることに注意]。

同様に、 $4$  kHz の理想ハイパスフィルタで、 $[4-8]$  kHz 帯域の信号を切り出す [図-1(a) 下, 図-2(a) 右]。さて、ここからが問題である。サンプリング定理に従えば、 $[4-8]$  kHz 帯域の信号は、 $8$  kHz サンプリングで表すことができるはずである。ここでは最も大胆に、そのまま間引率2で間引きを行ってみよう。すると  $[4-8]$  kHz 帯域の信号は  $4$  kHz で折り返されて(変調されて),  $[0-4]$  kHz 帯域の信号となる。これで、 $[4-8]$  kHz 帯域の信号は  $8$  kHz サンプリングで表現された [図-1(b) 下, 図-2(b) 右,  $f_s=8$  kHz になっていることに注意]。

\* A first step to the subband processing—For real-time implementation—.

\*\* Shoji Makino (NTT Communication Science Laboratories, Kyoto, 619-0237) maki@cslab.kecl.ntt.co.jp



図-1 帯域 2 分割・合成過程の全体の流れ

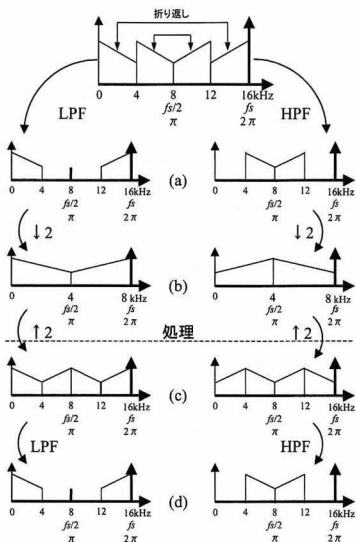


図-2 帯域 2 分割・合成過程のスペクトル

結局、[0-8] kHz 帯域の信号を 16 kHz サンプリングで表現していたものが、[0-4] kHz 帯域の信号を 8 kHz サンプリングで表現したものの二つに分割された。

#### メモリは同じ

簡単な例として、125 ms 長の FIR フィルタを実現することを考えてみよう。この FIR フィルタを 16 kHz サンプリングで表現すると 2,000 タップになるが、帯域を 2 分割すれば、8 kHz サンプリングで表現すれば良いので 1,000 タップで済む。低域と高域を合わせれば合計 2,000 タップになるので、メモリは減っていない。それでは、何がメリットなのだろうか？

#### サブバンドの利点、時間稼ぎ

FIR フィルタの畳み込みにはタップ数分の積和演算が必要である。しかも、次の入力信号が入って来る前に実行しなければ、実時間動作が間に合わない。16 kHz サンプリングであれば 62.5 μs 以内に 2,000 回の積和演算を終わらせることが、実時間動作のためには必要なのである。

これに対して、帯域を 2 分割すると、8 kHz サンプリングで表現すれば良いので、125 μs 以内に 1,000 回の積和演算を 2 回（合計 2,000 回）終わらせれば、実時間動作が可能となる。フルバンドに比べて時間の余裕が 2 倍（125 μs/62.5 μs）になっていることに気付いて欲しい。これは、単位時間当たりの演算量が  $1/2$  になった、遅い CPU を使っても実時間動作が可能になった、ハードウェアを小型化できる、等と言ええることができる。

#### フルバンド信号に戻すには

処理が終わったら補間率 2 で 0 補間して 16 kHz サンプリングに戻す。具体的には、値 0 のサンプルを挿入して 2 倍にアップサンプリングする。すると、[0-4] kHz 帯域は [4-8] kHz 帯域に折り返る [図-1(c) 上下、図-2(c) 左右]。そこで、[0-4] kHz 帯域を 4 kHz の理想ローパスフィルタで切り出し [図-1(d) 上、図-2(d) 左]、[4-8] kHz 帯域を 4 kHz の理想ハイパスフィルタで切り出し [図-1(d) 下、図-2(d) 右]、加え合せればフルバンド信号に戻る。

#### 理想フィルタは実現できないから

ここでは、簡単のため理想フィルタを用いて話を進めてきたが、理想フィルタは実際には実現できない。そこで、実際には折返し歪が許容できる程度にローパスフィルタのカットオフ周波数を 4 kHz より幾分低く設定し、傾きもできるだけ急峻にする。ハイパスフィルタのカットオフ周波数も 4 kHz より幾分高く設定し、傾きもできるだけ急峻にする。4 kHz を挟んで信号の存在しない帯域ができてしまうのが欠点であるが、ローパス/ハイパスフィルタの設計次第で聴感上さほど問題のないサブバンドシステムが実現できる<sup>1,2)</sup>。

なお、帯域分割フィルタと帯域合成フィルタが対になり、低域に生じる高域からの折返しと、高域に生じる低域からの折返しが対称で、合成時に

補い合う QMF (Quadrature Mirror Filter) フィルタバンクという便利なものもあるが、エコードキャンセラのように外部からの信号の影響がある場合には、折返し歪が完全に打ち消し合わなくなるため、使用できない。

### 3. 更に多くの帯域 32 分割

#### ポリフェーズフィルタバンクを利用

帯域 2 分割ができたので、今度はもっと多くの帯域に分けてみよう。更に多くの帯域に分割する例として、帯域 32 分割について考える。もちろん前節の方法を Tree 状に使って実現することも可能だが、分割数が多いときには特性と演算量の両面からあまりお薦めできない。その代わり、ポリフェーズフィルタバンク<sup>3)</sup>というもっと良い方法がある。

ここで、お詫びと共に、頭の切り換えをお願いしたい。前節と本節では、残念ながら帯域分割数の定義が異なるのである。前節では、帯域  $[0, \pi]$  を 2 分割し、これを帯域 2 分割と呼んだ。これは  $[0-8]$  kHz 帯域の実数信号を、 $[0-4]$  kHz 帯域と  $[4-8]$  kHz 帯域の二つの実数信号に分割することを考えれば納得できる。これに対して本節では、帯域  $[-\pi, \pi]$  あるいは帯域  $[0, 2\pi]$  を 32 分割し、これを帯域 32 分割と呼ぶ。これは  $[0-8]$  kHz 帯域の実数信号（実は、 $[8-16]$  kHz 帯域の複素共役信号を含む）を、帯域幅 500 Hz の 2 実数信号、30 複素数信号に分割するもので、短時間スペクトルに対応し、FFT を用いて効率的に実行できる。そのため、FFT のポイント数をもって帯域分割数と広く呼ばれているのである。読者の皆様には、全く違う手法であると思ってご容赦いただきたい。それでは、具体的な例を見ていく。

#### 32 のサブバンド信号に分割

ポリフェーズフィルタバンクによる帯域分割・合成過程の全体の流れを図-3 に、スペクトルを図-4 に示す。ポリフェーズフィルタバンクを用いる方法では、まず、サブバンド  $m$  の信号を、 $W_m = [\exp(j2\pi/N)]$  (本節の例では  $N=32$ ) を用いて  $W_m^{nm}$  で変調することにより、ベースバンドに周波数シフトする。次に、帯域  $[-\pi/32, \pi/32]$  のローパスフィルタ  $f(n)$  (すべての帯域で共通なため、プロトタイプフィルタと呼ばれる)

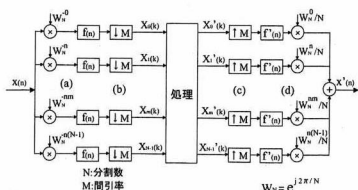


図-3 ポリフェーズフィルタバンクによる帯域分割・合成過程の全体の流れ

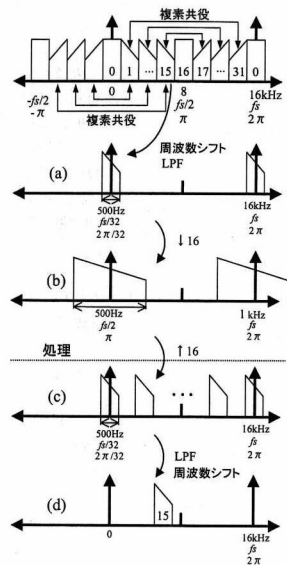


図-4 帯域 32 分割・合成過程のスペクトル

により帯域制限する [図-3(a), 4(a)]。更に、折返し歪の影響を避けるために帯域分割数 32 より小さな数で間引きを行う。ここでは間引率 16 で間引く (データを 16 サンプルごとにサブサンプリングする)。これにより、サンプリング周波数を 1/16 の 1 kHz に下げる。これは信号の帯域幅 (250 Hz 実数、500 Hz 複素数) に対して 2 倍のオーバサンプリングに相当していることに気付

いて欲しい。これにより理想フィルタを持ち出すことなく、折返し歪を十分に低減できる。以上により、 $x(n)$  は 32 個のサブバンド信号  $X_0(k) \sim X_{31}(k)$  に分割される [図-3(b), 4(b),  $f_s=1$  kHz になっていることに注意]。サブバンド信号  $X_0(k) \sim X_{31}(k)$  は短時間スペクトルに対応し、32 サブバンド信号のうち 0 と 16 が実数、残りは複素数になる。サブバンド 16 に対して対称なもの (例えば 15 と 17, 等) は複素共役の関係があり、全部で 17 (2 実数, 15 複素数) のサブバンド信号があれば、全帯域信号を合成することができる。

#### フルバンド信号に戻す

各サブバンドで処理された信号  $X_0'(k) \sim X_{31}'(k)$  を、補間率 16 で 0 補間する (値 0 のサンプルを挿入して 16 倍にアップサンプリングする) ことによりもとのサンプリング周波数に戻すと、たくさんの折返し信号が現れる [図-3(c), 4(c)]。間引率 16 を帯域分割数 32 より小さく設定したため、折返し信号間に隙間が得られていることに注意して欲しい。そこで、この隙間を利用して帯域  $[-\pi/16, \pi/16]$  のローパスフィルタ  $f(n)$  により帯域制限し、 $W_N^{sm}$  を用いて変調することにより、元の周波数まで周波数シフトする [図-3(d), 4(d)]。

最後に、各サブバンドの信号を加算することにより、全周波数帯域の信号を合成する。以上のように、間引率 16 を帯域分割数 32 より小さく設定することにより、帯域間のバンドギャップなく、ローパスフィルタ  $f(n)$ ,  $f'(n)$  のタップ数に応じて、折返し歪を含めて  $-60 \sim -40$  dB 程度の精度で帯域分割・合成が実現できる<sup>4)</sup>。この帯域分割・合成過程は、32 点 FFT を用いて効率的に実行できる<sup>5)</sup>。

#### メモリは減らない

前節と同様、125 ms 長の FIR フィルタを実現することを考えてみよう。この FIR フィルタを 16 kHz サンプリングで表現すると 2,000 タップになるが、帯域を 32 分割し、間引率 16 で間引けば、各帯域のサンプリング間隔は 16 倍に広がり、1 kHz サンプリングとなる。しかも、各帯域の FIR フィルタのタップ数は、1/16 に間引かれて 125 タップで済む。このような FIR フィルタが全部で 17 帯域 (2 実数, 15 複素数) あり、これ

らを合わせれば合計で実数 250 タップ、複素数 1,875 タップになる。複素数は 2 倍のメモリが必要であると数えると、全体で 4,000 のメモリが必要となる。2 倍のオーバサンプリングのため、メモリは 2 倍 ( $4,000/2,000$ ) に増えている。

#### 帯域 32 分割、間引率 16 の演算量は 1/4

帯域分割・合成に要する演算量は、FIR フィルタの演算量に比べて少ないため無視できる。フルバンド構成のとき、16 kHz サンプリングであれば 62.5  $\mu$ s 以内に 2,000 回 (250  $\mu$ s で 8,000 回に相当) の積和演算を終わらせることが必要であった。これに対して、帯域を 32 分割すると、2 倍のオーバサンプリングをしても、各帯域のサンプリング間隔は間引きによって 16 倍の 1 kHz サンプリングに広がり、各帯域の FIR フィルタのタップ数は 1/16 の 125 タップに間引ける。従って、各帯域における演算量は、フルバンド構成に比べて  $1/16^2$  になる。全体では、1 ms 以内に 125 回の積和演算を 2 実数帯域、15 複素数帯域 (複素数は 4 倍の積和演算が必要であると数えると、合計約 8,000 回) 終わらせれば、実時間動作が可能となる。フルバンドに比べて時間の余裕が 4 倍 (1 ms/250  $\mu$ s) になっている。サブバンド信号処理の以上の利点を生かせば、高速 RLS アルゴリズムの実時間動作も可能である<sup>6)</sup>。

#### 4. 実数で演算するなら SSB サブバンド

前節のポリフェーズフィルタバンクを使ったサブバンドでは、各帯域の信号は複素数になった。これを実数信号に変換する方法として、Single Side Band (SSB) 変調法が知られている<sup>7)</sup>。

##### 複素数のサブバンド信号を実数化

前節のポリフェーズフィルタバンク 図-4(a) で得られた信号から始める [図-5(a) 右]。まず、この信号を帯域幅分右へ周波数シフトする [図-5(b) 右]。同様に、図-5(a) 右と複素共役な信号 [図-5(a) 左] を帯域幅分左へ周波数シフトする [図-5(b) 左]。これら複素共役な 2 つの信号を加え合わせると左右対称な信号、つまり実数信号が得られる [図-5(c)]。次に、折返し歪の影響を避けるために帯域分割数の半分 16 より小さな数で間引きを行う。ここでは間引率 8 で間引く (データを 8 サンプルごとにサブサンプリングする)。これにより、サンプリング周波数を 1/8 の

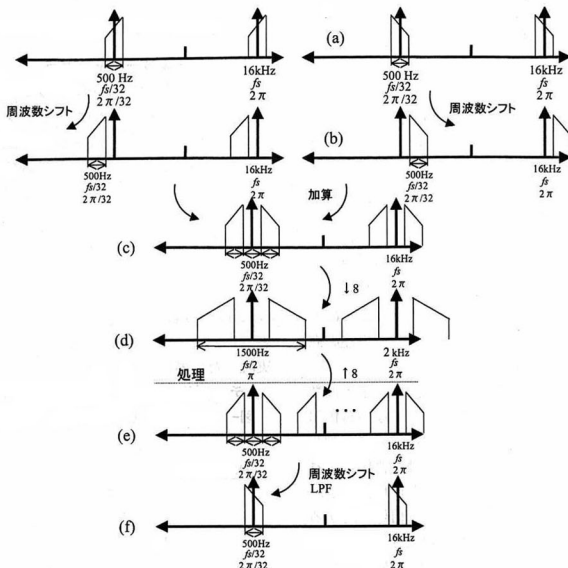


図-5 SSB変調による実数化

2 kHz に下げる [**図-5(d)**,  $f_s=2 \text{ kHz}$  になっていることに注意]。これは信号の帯域幅 (500 Hz 実数) に対して 2 倍のオーバサンプリングに相当していることに気付いて欲しい。これにより理想フィルタを持ち出すことなく、折返し歪を十分に低減できる。

以上により、0 と 16 が帯域幅 250 Hz の実数信号、1 から 15 は帯域幅 500 Hz の実数信号になる。全部で 17 実数のサブバンド信号があれば、全帯域信号を合成することができる。

#### 実数のサブバンド信号を複素数に戻す

各サブバンドで処理された信号を、補間率 8 で 0 補間する (値 0 のサンプルを挿入して 8 倍にアップサンプリングする) ことによりもとのサンプリング周波数に戻すと、たくさんの折返し信号が現れる [**図-5(e)**]。間引率 8 を帯域分割数の半分 16 より小さく設定したため、折返し信号間に隙間が得られていることに注意して欲しい。そこで、帯域幅分左へ周波数シフトすることによりベ

ースバンド信号に戻し、この隙間を利用して帯域  $[-\pi/16, \pi/16]$  のローパスフィルタ  $f'(n)$  により帯域制限する [**図-5(f)**]。更に  $W_n^{nm}$  を用いて変調し、元の周波数まで周波数シフトすることにより **図-4(d)** が得られる。

なお、次のように前節のポリフェーズサブバンドと本節の SSB サブバンドの演算量は等しい。ポリフェーズサブバンドでは大部分の信号が複素数になるため、実数での演算に比べて 4 倍の演算量がかかる。これに対して、SSB サブバンドでは、間引率が 1/2 になるため、演算量が 4 (=  $2^2$ ) 倍かかる。これらが相殺し合うためである。

#### 5. サブバンド信号処理の利点と欠点

サブバンドへの分割・合成方法が分かったので、ここで改めてサブバンド信号処理の利点と欠点をまとめてみよう。

##### 利点は多數

サブバンド信号処理の第 1 の利点は、これまで

説明してきたように、間引きによってサンプリング間隔が広がり、各帯域のタップ数が減ることにより、演算が効率化されることにある。この効果は、演算量がタップ数に比例する場合 (FIR フィルタ, LMS 適応フィルタ, 等) はもとより、演算量がタップ数の 2 乗に比例する場合 (逆フィルタ処理, RLS 適応フィルタ, 等) には極めて顕著である。これにより、ハードウェアによる実時間動作化が促進できる。

サブバンド信号処理の第 2 の利点は、時間-周波数にわたる解析が行えるため、各周波数帯域における信号やシステムの性質の違いを反映させ、帯域ごとに処理を変えることができる。これにより、更なる処理の効率化や性能の向上が図れる。

サブバンド信号処理の第 3 の利点は、全周波数帯域でみるとスペクトル形状が平坦でない有色信号を、スペクトルが平坦に近い帯域信号に分割して処理していることがある。これは、言い替えれば、入力信号を白色化していることに相当する。このため、音声のように相関のある信号に対する適応アルゴリズムの収束速度を向上させることができる<sup>8),9)</sup>。また、エコーニュンセラをステレオ化する際にも有効である<sup>10)</sup>。

第 4 の利点は、各帯域の信号は間引きによって  $[0, 2\pi]$  に拡大されることにある。これにより、極や零点を取り扱う場合に、それらの分解能が上がり処理し易くなる<sup>11)</sup>。

第 5 の利点は、他の手法 (センタクリッパ、音声スイッチ、等) を簡単に埋め込むことができ、装置全体の性能向上を図ることにある。

第 6 の利点は、各帯域から複数の制御信号が得られるため、ダブルトーカー制御等の様々な制御が高度化できることにある。

#### 欠点は遅延とメモリ増加

これらに対して、サブバンド信号処理の最大の欠点は遅延である。帯域 32 分割、間引率 16 の場合 20~40 ms の遅延が生じる。これらは主にローパスフィルタ処理において発生し、分割・合成の精度とトレードオフの関係にある。遅延を減らす検討やなくす検討<sup>12)</sup> が盛んに行われているが、根本的な解決には至っていない。また、ローパスフィルタや FIR/適応フィルタのメモリ増加も欠点である。

## 6. サブバンド信号処理の適用例

### サブバンドエコーニュンセラ

サブバンドエコーニュンセラの構成の一例を図-6 に示す。受話入力  $x(n)$  とエコー信号  $y(n)$  は、帯域分割フィルタにより  $N$  個のサブバンドに分割される。各サブバンドには適応フィルタがあり、それぞれ独立にエコーを消去する。最後に、帯域合成フィルタにより、各サブバンドの誤差信号から全周波数帯域の誤差信号  $e(n)$  を合成する。

サブバンドエコーニュンセラは、フルバンド構成に比べて演算が効率的であるため、次に述べるように、大規模なエコーニュンセラを 1 チップで実現したい場合に適している。

### 1 チップサブバンドエコーニュンセラ

図-7 は、NTT と AT & T が共同開発した商

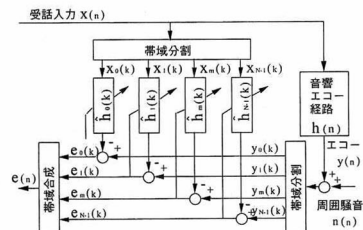


図-6 サブバンドエコーニュンセラ

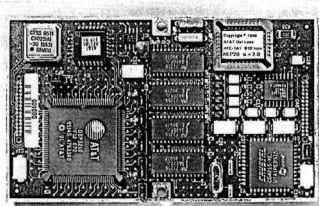


図-7 1 チップサブバンドエコーニュンセラ

用の1チップサブバンドエコーキャンセラであり、3.4 kHz帯域でエコー消去時間長250 ms, 7 kHz帯域でエコー消去時間長150 msを実現している。各帯域に必要なタップ数を聴覚特性を考慮して最適配置し、各帯域の指數減衰特性を反映させて収束速度を高速化<sup>13)</sup>し、ダブルトーク制御用に専用の帯域を使用してダブルトーク時の安定動作を確保するなど、複数の帯域の特性の違いを様々な形で処理に反映させることにより、性能の向上を図っている。

## 1. おわりに

サブバンド信号処理は実時間動作を可能にするための、重要な実現手段であり、高性能で小型経済的なハードウェアを実現するための奥の手である。サブバンド信号処理は周波数変調、サンプリング周波数の変換、FFTの活用など、デジタル信号処理技術の宝庫であり、今後とも発展し広く応用されることを期待する。

## 謝 辞

最後に、サブバンド信号処理にともに取り組み、理論と実践に関して日々討論を重ね、本稿に対しても数々の貴重なご意見をいただいたNTT羽田陽一博士と中川朗氏に謝意を表す。

## 文 獻

- 1) H. Oikawa, S. Minami and T. Saeki, "A new echo canceller realized by high performance digital signal processor," Proc. ISCAS 88, 1329-1332 (1988).
- 2) H. Yasukawa, I. Furukawa and Y. Ishiyama, "Acoustic echo control for high quality audio teleconferencing," Proc. ICASSP 89, 2041-2044 (1989).
- 3) P.P. Vaidyanathan, "Multirate digital filters, filter-banks, polyphase networks, and applications: a tutorial," Proc. IEEE 78, 56-93 (1990).
- 4) A. Nakagawa, Y. Haneda and S. Makino, "Sub-

band acoustic echo canceller using two different analysis filters and 8th order projection algorithm," Proc. IWAENC 97, 140-143 (1987).

- 5) M. Portnoff, "Implementation of the digital phase vocoder using the fast Fourier transform," IEEE Trans. Acoust. Speech Signal Process. ASSP-24, 243-248 (1976).
- 6) B. Hatty, "Recursive least squares algorithms using multirate systems for cancellation of acoustic echoes," Proc. ICASSP 90, 1145-1148 (1990).
- 7) R. Crochiere and L. Rabiner, *Multirate Digital Signal Processing* (Prentice-Hall, Englewood Cliffs, NJ, 1983).
- 8) W. Kellermann, "Analysis and design of multirate systems for cancellation of acoustical echoes," Proc. ICASSP 88, 2570-2573 (1988).
- 9) S. Makino, J. Noebauer, Y. Haneda and A. Nakagawa, "SSB subband echo canceller using low-order projection algorithm," Proc. ICASSP 96, 945-948 (1996).
- 10) S. Makino, K. Strauss, S. Shimauchi, Y. Haneda and A. Nakagawa, "Subband stereo echo canceller using the projection algorithm with fast convergence to the true echo path," Proc. ICASSP 97, 299-302 (1997).
- 11) H. Yamada, H. Wang and F. Itakura, "Recovering of broad band reverberant speech signal by sub-band MINT method," Proc. ICASSP 91, 969-972 (1991).
- 12) D. Morgan and J. Thi, "A delayless subband adaptive filter architecture," IEEE Trans. Signal Process. 43, 1819-1830 (1995).
- 13) 牧野昭二, 羽田陽一, "周波数帯域における音響エコーリングの変動特性を反映させたサブバンドESアルゴリズム," 信学論 J79-A, 1138-1146 (1996).

牧野 昭二



昭54東北大・工・機械卒。昭56同大大学院修士課程了。同年日本電信電話公社(現NTT)入社。以来、NTT研究所において、電気音響変換器、拡声電話機、及び、音響エコーキャンセラなどの音響信号処理の研究に従事。現在、NTTコミュニケーション科学基礎研究所知能情報研究部主幹研究員。工博。平成7年度日本音響学会技術開発賞。平成9年度電子情報通信学会第34回業績賞。IEEE Senior Member。日本音響学会、電子情報通信学会各会員。